

## СВОБОДНЫЕ И ВЫНУЖДЕННЫЕ КОЛЕБАНИЯ ЗАРЯЖЕННЫХ ЧАСТИЦ В ИНЕРЦИОННО-НЕСТАЦИОНАРНЫХ БЫСТРООСЦИЛЛИРУЮЩИХ КВАДРУПОЛЬНЫХ ЭЛЕКТРИЧЕСКИХ ПОЛЯХ

© 2020 г. Е. В. Мамонтов<sup>а</sup>, М. Ю. Судаков<sup>а</sup>, Р. Н. Дятлов<sup>а, \*</sup>

<sup>а</sup>Рязанский государственный радиотехнический университет,  
ул. Гагарина, 59/1, Рязань, 390005 Российская Федерация

\*E-mail: kaitp@list.ru

Поступила в редакцию 27.11.2018 г.

После доработки 28.12.2018 г.

Принята к публикации 11.01.2019 г.

Исследованы свободные и вынужденные колебания заряженных частиц в инерционно-нестационарных квадрупольных электрических ВЧ-полях. Используя линейные соотношения между коэффициентами ряда, являющиеся решением дифференциального уравнения Матье, полигармонические колебания заряженных частиц в быстроосциллирующих полях с медленно изменяющимися параметрами представляются моделью нестационарного гармонического осциллятора. С помощью функции Грина получены выражения для резонансных колебаний заряженных частиц в нестационарных ВЧ-полях с наложенными на них возбуждающими однородными полями. Рассмотрен частный случай полигармонического осциллятора с линейно изменяющейся собственной частотой колебаний, получены выражения для параметров его функции возбуждения. Аналитические соотношения подтверждаются результатами компьютерного моделирования.

DOI: 10.31857/S003384942002014X

### ВВЕДЕНИЕ

Свойства колебаний заряженных частиц в квадрупольных ВЧ-полях и их композициях с однородными полями, описываемые дифференциальными уравнениями с периодическими коэффициентами, широко используются в аналитических приборах и системах для удержания, транспортировки и сепарации ионов по удельному заряду. При исследовании колебаний частиц в быстроосциллирующих полях с линейной возвращающей силой полезной моделью является гармонический осциллятор с квадратичным распределением статического потенциала [1]. Полигармонические колебания заряженных частиц в квадрупольных ВЧ полях также можно рассматривать как усредненные гармонические колебания с секулярной частотой [2]. Масс-анализаторы ионов, как правило, работают в режимах с разверткой масс, предполагающей изменение в процессе анализа одного или нескольких параметров квадрупольного поля [3]. По сравнению с секулярными колебаниями заряженных частиц эти изменения носят медленный характер и могут быть описаны моделью инерционно-нестационарного гармонического осциллятора. Линейная связь коэффициентов полигармонического решения дифференциальных

уравнений Матье [4] позволяет использовать собственные и вынужденные колебания нестационарного гармонического осциллятора для решения задач резонансного воздействия однородных возбуждающих полей на колебания заряженных частиц в квадрупольных ВЧ-полях с медленно изменяющимися параметрами.

### 1. СОБСТВЕННЫЕ КОЛЕБАНИЯ ЗАРЯЖЕННЫХ ЧАСТИЦ В ИНЕРЦИОННО- НЕСТАЦИОНАРНОМ ВЧ-ПОЛЕ

Электрическое поле двумерного квадрупольного анализатора описывается распределением потенциала [3]

$$\varphi(x, y) = \frac{u}{r_0^2} (x^2 - y^2), \quad (1)$$

где  $u = U + V \cos \omega t$  – питающее напряжение,  $r_0$  – геометрический параметр анализатора. В поле с постоянными параметрами движение заряженных частиц по координате  $x$  (или  $y$ ) описывается дифференциальным уравнением Матье [3, 4]

$$\frac{d^2 x}{dt^2} + \frac{\omega^2}{4} (a - 2q \cos \omega t) x = 0, \quad (2)$$

где  $a = 8eU/r_0^2\omega^2m$ ,  $q = 4eV/r_0^2\omega^2m$ ,  $e$  и  $m$  – заряд и масса частицы. Устойчивое решение уравнения (2) имеет вид гармонического ряда [4]

$$x(t) = A \sum_{r=-\infty}^{\infty} C_{2r} \cos \left[ \left( r + \frac{\beta}{2} \right) \omega t + \theta \right], \quad (3)$$

где  $A$  и  $\theta$  – постоянные интегрирования, зависящие от начальных координат  $x_0$  и скоростей  $v_{0x}$  частиц,  $C_{2r}$  и  $\beta$  – коэффициенты ряда и параметр стабильности, зависящие от  $a$  и  $q$ . Наибольший интерес представляют колебания заряженных частиц в первой зоне стабильности, заключенной между границами [4]

$$\begin{aligned} a_0(q) &= -\frac{1}{2}q^2 + \frac{7}{128}q^4 - \frac{29}{2304}q^6 + Q(q^8), \\ b_1(q) &= 1 - q - \frac{1}{8}q^2 + \frac{1}{64}q^3 + Q(q^4). \end{aligned} \quad (4)$$

В стабильной зоне  $0 \leq \beta \leq 1$ . Коэффициенты  $C_{2r}$  ряда (3) зависят от параметров  $a$ ,  $q$  и  $\beta$  и связаны между собой рекуррентным соотношением [4]

$$\begin{aligned} \frac{C_{2r}}{C_{2r-2}} &= \frac{-(2r-2+\beta)^2 + a}{q} + \\ &+ \frac{q/(2r-4+\beta)^2}{1 - a/(2r-4+\beta)^2 - \dots}. \end{aligned} \quad (5)$$

Выражение (5) указывает на пропорциональность коэффициентов  $C_{2r} \sim C_0$ , которая определяет линейную связь амплитуд  $X_{mr}$  высших гармоник колебаний с амплитудой  $X_{m0}$  секулярной составляющей. Это свойство решений уравнений Матье позволяет задачи полигармонических колебаний заряженных частиц в квадрупольных ВЧ-полях, а также в их суперпозициях с однородными полями, сводить к задачам свободных и вынужденных колебаний гармонического осциллятора. Такой же подход, изложенный в [1], рассматривает движение частиц в быстроосциллирующих полях как усредненные колебания в поле постоянной “эффективной потенциальной энергии” с квадратичной зависимостью от амплитуды колебаний. Модель гармонического осциллятора используется также для описания колебаний с секулярной частотой в поле “псевдопотенциала” квадрупольных анализаторов с параметрами  $a = 0$ ,  $q < 0.3$  [3]. Основываясь на отмеченных свойствах дифференциальных уравнений Матье, рассмотрим свободные и вынужденные колебания заряженных частиц в квадрупольных ВЧ-полях с медленно изменяющимися параметрами.

Нестационарность гармонических осцилляторов, как правило, выражается в изменении во времени собственной частоты колебаний  $\Omega(\xi)$ , где  $\xi = t/T$  ( $T$  – интервал нестационарности). Под собственной частотой будем понимать частоту

секулярных колебаний  $\Omega_s(\xi) = \beta(\xi)\omega/2$  заряженных частиц в квадрупольном ВЧ-поле, изменение которой происходит при изменении (сканировании) одного или нескольких параметров питающего напряжения  $u(\xi)$ . Сканирование считаем инерционным при выполнении условия

$$T\Omega_{\min} \gg 2\pi, \quad (6)$$

где  $\Omega_{\min}$  – минимальное на интервале  $[0, T]$  значение секулярной частоты.

Колебания гармонического осциллятора без потерь с изменяющейся собственной частотой  $\Omega(\xi)$  при внешнем воздействии  $f(\xi)$  описываются дифференциальным уравнением

$$\frac{d^2x}{d\xi^2} + \Omega^2(\xi)x = f(\xi). \quad (7)$$

Для решения линейного неоднородного дифференциального уравнения (7) используем метод Грина [5]

$$x(\xi) = \int_0^\xi G(\eta)f(\xi-\eta)d\eta + \sum_{k=1}^2 A_k x_k(\xi), \quad (8)$$

где  $G(\xi)$  – функция Грина,  $x_k(\xi)$  – частные решения однородного дифференциального уравнения,  $A_k$  – постоянные интегрирования. Согласно теории линейных дифференциальных уравнений функцией Грина колебаний материальной точки с массой  $m$  является частное решение  $x_1(\xi)$  однородного уравнения (7) при начальных условиях  $x(0) = 0$ ,  $x'(0) = 1/m$  [5]. Представим функцию  $x_1(\xi)$  гармоническим колебанием с медленно изменяющейся амплитудой  $X(\xi)$  и фазой  $\varphi(\xi)$  [6]

$$x_1(\xi) = X(\xi) \sin \varphi(\xi), \quad (9)$$

где  $\varphi(\xi) = \int_0^\xi \Omega(\eta)d\eta$ . После подстановки  $x_1(\xi)$  в (7) получаем уравнение огибающей

$$\begin{aligned} X''(\xi) \sin \varphi(\xi) - [2X'(\xi)\Omega(\xi) + \\ + X(\xi)\Omega'(\xi)] \cos \varphi(\xi) = 0. \end{aligned} \quad (10)$$

При выполнении условия (6) величина  $X''(\xi)$  имеет второй порядок малости и уравнение (10) упрощается

$$2X'(\xi)\Omega(\xi) + X(\xi)\Omega'(\xi) \approx 0. \quad (11)$$

Его решением является функция

$$X(\xi) \approx C/\sqrt{\Omega(\xi)}, \quad (12)$$

где  $C$  – постоянная, определяемая начальными условиями. Тогда частное решение однородного дифференциального уравнения (7) примет вид

$$x_1(\xi) = \frac{C}{\sqrt{\Omega(\xi)}} \sin \varphi(\xi). \quad (13)$$

После подстановки в (13) начальных условий  $x(0) = 0$ ,  $x'(0) = 1/m$ ,  $\Omega(0) = \Omega_0$  получаем функцию Грина

на инерционно-нестационарного гармонического осциллятора

$$G(\xi) = \begin{cases} 0, & \xi < 0, \\ \frac{1}{m\sqrt{\Omega_0\Omega(\xi)}} \sin \varphi(\xi), & 0 \leq \xi \leq 1. \end{cases} \quad (14)$$

$$G(\xi) = \begin{cases} 0, & \xi < 0, \\ \frac{1}{m\sqrt{\Omega_0\Omega(\xi)}} \sum_{r=-\infty}^{\infty} C_{2r}(\xi) [v_r \xi + \varphi(\xi) + \theta_r], & 0 \leq \xi \leq 1, \end{cases} \quad (15)$$

где  $v_r = r\omega T$  – нормированные частоты высших гармоник колебаний.

Рассмотрим частный случай свободных колебаний в гармоническом осцилляторе с линейно изменяющейся собственной частотой

$$\Omega(\xi) = \Omega_0 + \Delta\Omega\xi. \quad (16)$$

Дифференциальное уравнение для этого случая имеет вид

$$\frac{d^2x}{d\xi^2} + [\Omega_0 + \Delta\Omega\xi]^2 x = 0. \quad (17)$$

Уравнение (17) приводится к дифференциальному уравнению параболического цилиндра

$$\frac{d^2y}{dx^2} + \left(\frac{x^2}{4} - a\right)y = 0, \quad (18)$$

решением которого при  $x \gg a$  являются функции Вебера [7]

$$W(0, x) \cong \frac{1}{\sqrt{x}} \left[ B_1 \cos \frac{x^2}{2} + B_2 \sin \frac{x^2}{2} \right]. \quad (19)$$

Функцию Грина гармонического осциллятора с линейно изменяющейся собственной частотой колебаний получаем подстановкой (16) в (14):

$$G(\xi) = \begin{cases} 0, & \xi < 0, \\ \frac{1}{m\sqrt{\Omega_0(\Omega_0 + \Omega\xi)}} \sin[v_0\xi + \Delta v\xi^2], & 0 \leq \xi \leq 1, \end{cases} \quad (20)$$

где  $v_0 = \Omega_0 T$ ,  $\Delta v = \Delta\Omega T/2$ . При соответствующей замене переменных решения уравнений (17) и (18) совпадают, что подтверждает справедливость выражения (12) для огибающей функции Грина инерционно-нестационарного гармонического осциллятора.

Функции Грина, полученные численным моделированием свободных колебаний заряженных частиц в квадрупольном ВЧ-поле с линейно нарастающей и убывающей амплитудой (соответствуют прямому и обратному линейному сканированию секулярной частоты), приведены на рис. 1.

Огибающие секулярной составляющей функции Грина, рассчитанной по формуле (20) и полу-

Далее, учитывая пропорциональность коэффициентов  $C_{2r} \sim C_0$ , получаем выражение для функции Грина полигармонических колебаний заряженных частиц в квадрупольном ВЧ-поле с медленно изменяющимися параметрами

ченной в результате компьютерного моделирования, при  $\Omega T > 23$  отличаются не более чем на 1%. Высокочастотные составляющие свободных колебаний, показанные на рис. 1 в увеличенном масштабе, при сканировании изменяются в соответствии с зависимостями коэффициентов  $C_{2r}$  от параметра ВЧ-поля  $q$ .

С помощью выражения (12) для огибающей функции Грина устанавливается связь полной энергии колебаний нестационарного гармонического осциллятора с инерционным параметрическим воздействием на его собственную частоту. После подстановки в формулу для энергии гармонических колебаний материальной точки

$$W = \frac{x^2\Omega^2}{2} m$$

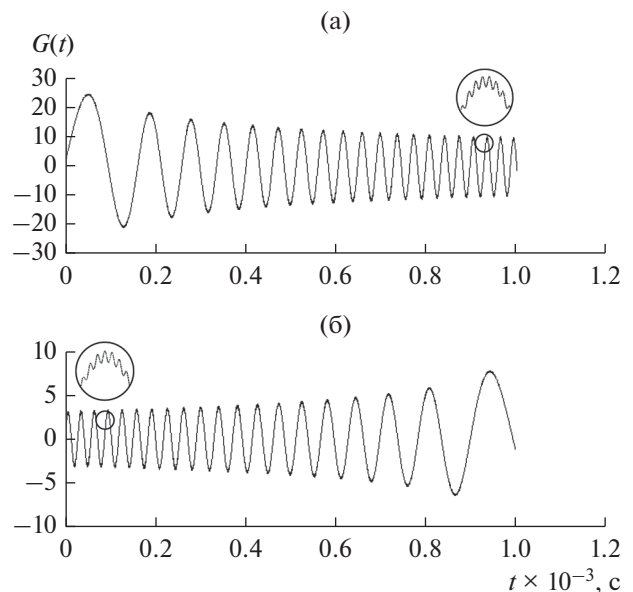


Рис. 1. Свободные колебания заряженных частиц в квадрупольном ВЧ-поле с линейно нарастающей (а) и линейно убывающей амплитудой (б); на вставках – увеличенный масштаб отмеченных участков.

зависимости (12) амплитуды от частоты получаем

$$W(\xi) = \frac{C^2 m}{2} \Omega(\xi). \quad (21)$$

Согласно (21) полная энергии колебаний инерционного параметрического осциллятора изменяется пропорционально частоте его собственных колебаний. В радиоэлектронике для усиления слабых сигналов используются быстрые, синхронные с частотой принимаемых колебаний, параметрические воздействия на колебательные системы [8]. В аналитических системах изменение полной энергии колебаний инерционным параметрическим воздействием на частоту собственных колебаний может использоваться для управления движением заряженных частиц при их транспортировке, удержании и сепарации в квадрупольных ВЧ-полях.

## 2. ВЫНУЖДЕННЫЕ КОЛЕБАНИЯ ЗАРЯЖЕННЫХ ЧАСТИЦ В ИНЕРЦИОННО-НЕСТАЦИОНАРНЫХ КВАДРУПОЛЬНЫХ ВЧ-ПОЛЯХ

Современные масс-спектрометрические методы микроанализа вещества используют свойства колебаний заряженных частиц в композициях полей с различающимися пространственно-временными распределениями потенциала. Эффективным является метод резонансного вывода ионов из квадрупольных анализаторов путем наложения на линейное ВЧ-поле возбуждающего поля [9, 10], в качестве которого используют близкое к однородному переменное поле

$$E_{\text{ex}}(\xi) \approx \frac{V_{\text{ex}}}{2r_0} \cos v_{\text{ex}} \xi, \quad (22)$$

где  $V_{\text{ex}}$  и  $v_{\text{ex}} = T\Omega_{\text{ex}}$  – амплитуда и нормированная частота возбуждающего напряжения, приложенного к паре противоположных электродов квадрупольного анализатора с геометрическим параметром  $r_0$ .

Для базовых колебаний с секулярной частотой  $\Omega_s(\xi)$  квадрупольный анализатор с резонансным выводом ионов и амплитудной разверткой масс можно рассматривать как нестационарный гармонический осциллятор с внешней силой

$$f(\xi) = F_m \cos v_b \xi,$$

( $F_m = ev_b/2r_0$ ), описываемый неоднородным дифференциальным уравнением (7). Его решением в форме (8) при нулевых начальных условиях  $x(0) = 0$ ,  $x'(0) = 0$  является функция возбуждения

$$x_s(\xi) = F_m \int_0^\xi G(\eta) \sin[v_{\text{ex}}(\xi - \eta)] d\eta. \quad (23)$$

После подстановки в (23) функции Грина (14) получаем

$$x_s(\xi) = \frac{F_m}{m\sqrt{\Omega_0}} \int_0^\xi \frac{\sin \varphi(\eta) \sin[v_{\text{ex}}(\xi - \eta)]}{\sqrt{\Omega(\eta)}} d\eta. \quad (24)$$

При выполнении условия (6) инерционной нестационарности функция  $\sqrt{\Omega(\eta)}$  в (24) по сравнению с гармоническими функциями является медленно изменяющейся, и с некоторым приближением можно записать

$$x_s(\xi) \approx F(\xi) \int_0^\xi \sin[\varphi(\eta)] \sin[v_{\text{ex}}(\xi - \eta)] d\eta, \quad (25)$$

где  $F(\xi) = F_m/m\sqrt{\Omega_0\Omega(\xi)}$ . Для вычисления интеграла в (25) применим метод стационарной фазы [11].

Используя (25), найдем функцию возбуждения гармонического осциллятора с линейно изменяющейся частотой собственных колебаний  $\Omega(\xi) = \Omega_0 + \Delta\Omega\xi$ .

Текущая фаза  $\varphi(\xi)$  колебаний при линейном сканировании частоты описывается функцией

$$\varphi(\xi) = \Omega_0 T \xi + \frac{\Delta v}{2} \xi^2. \quad (26)$$

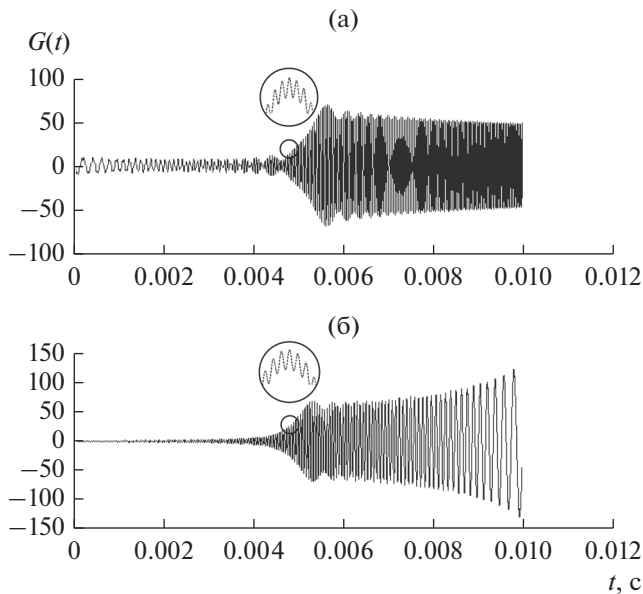
После подстановки  $\varphi(\xi)$  в (25), тригонометрических преобразований и пренебрежения малыми составляющими получаем

$$x_{\text{se}}(\xi) = \frac{F_m}{m\sqrt{\Omega_0(\Omega_0 + \Delta\Omega\xi)}} \times \left\{ -\sin\left[\frac{\Delta v}{2}(\xi^2 + \xi_{\text{ex}}^2)\right] \int_0^\xi \sin\left[\frac{\Delta v}{2}(\eta - \xi_{\text{ex}})^2\right] d\eta + \right. \\ \left. + \cos\left[\frac{\Delta v}{2}(\xi^2 + \xi_{\text{ex}}^2)\right] \int_0^\xi \cos\left[\frac{\Delta v}{2}(\eta - \xi_{\text{ex}})^2\right] d\eta \right\}, \quad (27)$$

где  $\xi_{\text{ex}} = (\Omega_{\text{ex}} - \Omega_0)/\Delta\Omega$  – нормированное время возбуждения. Введя обозначение  $H(\xi) = F_m\sqrt{T}/m\sqrt{2\Delta\Omega\Omega_0(\Omega_0 + \Delta\Omega\xi)}$  и используя стандартные формы интегралов Френеля  $S(y) = \sqrt{\frac{2}{\pi}} \int_0^y \sin y^2 dy$  и  $C(y) = \sqrt{\frac{2}{\pi}} \int_0^y \cos y^2 dy$  запишем функцию возбуждения в следующем виде:

$$x_{\text{se}}(\xi) = H(\xi) \left\{ -\left[\frac{1}{2} S\left(\frac{\Delta v}{2}(\xi + \xi_{\text{ex}})\right)\right] \times \right. \\ \left. \times \sin\left[\frac{\Delta v}{2}(\xi^2 + \xi_{\text{ex}}^2)\right] + \right. \\ \left. + \left[\frac{1}{2} + C\left(\frac{\Delta v}{2}(\xi + \xi_{\text{ex}})\right)\right] \cos\left[\frac{\Delta v}{2}(\xi^2 + \xi_{\text{ex}}^2)\right] \right\}. \quad (28)$$

В полигармоническом осцилляторе с суперпозицией квадрупольных ВЧ- и однородных возбуждающих полей функции (25) и (28) описывают колебания заряженных частиц с секулярной



**Рис. 2.** Вынужденные колебания заряженных частиц в квадрупольном ВЧ-поле с прямым (а) и обратным (б) линейным сканированием амплитуды; на вставках – увеличенный масштаб отмеченных участков.

частотой. Функция возбуждения, учитывающая высшие гармоники колебаний, может быть получена с помощью функции Грина (15) или на основе рекуррентного соотношения (5) между коэффициентами  $C_{2r}$ :

$$x_p(\xi) = H(\xi) \sum_{r=-\infty}^{\infty} C_{2r}(\xi) \sin[\omega_r T \xi + \varphi(\xi) + \theta_r]. \quad (29)$$

Функции возбуждения полигармонического осциллятора с прямым и обратным линейным сканированием секулярной частоты, полученные компьютерным моделированием колебаний ионов с массой  $M = 3900$  а. е. м. в квадрупольном ВЧ-поле с параметрами  $r_0 = 5$  мм,  $f = 1$  МГц,  $V = (100 + 900\xi)$  В,  $V = (1000 - 900\xi)$  В, и наложенным на него возбуждающим полем с  $f_{\text{ex}} = 20$  кГц,  $V_{\text{ex}} = 50$  В, показаны на рис. 2. Амплитуда секулярных колебаний ионов с приближением частоты  $\Omega_s(\xi)$  к частоте  $\Omega_{\text{ex}}$  возбуждающего поля резонансно возрастает и достигает наибольшего значения

$$X_{\text{max}} = \frac{F_m \sqrt{\pi T}}{m \Omega_{\text{ex}} \sqrt{2\sqrt{\Delta\Omega}}}. \quad (30)$$

После прохождения резонанса амплитуда возбужденных колебаний изменяется в соответствии с функцией  $1/\sqrt{\Omega(\xi)}$ .

Для оценки разрешающей способности масс-анализатора важным параметром является время

возбуждения, которое при линейном сканировании секулярной частотой рассчитывается по формуле

$$t_{\text{ex}} = 2\sqrt{\pi T / \Delta\Omega}. \quad (31)$$

Оценивать разрешающую способность квадрупольных масс-анализаторов с резонансным выводом ионов только по скорости изменения секулярного колебания, как в [10], не совсем корректно. Высшие гармоники колебаний придают огибающей функции возбуждения немонотонный характер и искажают шкалу масс  $M$ , соответственно, снижают разрешающую способность и точность определения масс-анализатора. При оптимизации частоты  $\Omega_{\text{ex}}$  возбуждающего поля следует учитывать все факторы, влияющие на время  $t_{\text{ex}}$  достижения ионами границ  $x = r_0$  электродной системы.

## ЗАКЛЮЧЕНИЕ

На основе линейной зависимости коэффициентов  $C_{2r}$  высших гармоник решения дифференциального уравнения Матье от коэффициента  $C_0$  секулярной составляющей обоснованно использование модели гармонического осциллятора для исследования колебаний заряженных частиц в квадрупольных ВЧ-полях и в их суперпозиции с однородными полями. При решении неоднородного дифференциального уравнения инерционно-нестационарного осциллятора используется функция Грина, определенная как гармоническое колебание с переменной частотой  $\Omega(\xi)$  и огибающей  $X(\xi) \sim 1/\sqrt{\Omega(\xi)}$ . На ее основе получена функция Грина полигармонического осциллятора, описывающая свободные колебания заряженных частиц в квадрупольных ВЧ-полях с изменяющейся амплитудой. Для инерционно-нестационарного осциллятора с внешним воздействием найдена функция возбуждения. Рассмотрены свободные и вынужденные колебания заряженных частиц в квадрупольном ВЧ-поле с линейным сканированием секулярной частоты. Аналитические соотношения, подтвержденные результатами компьютерного моделирования, свидетельствуют об эффективности использования модели нестационарного гармонического осциллятора для исследования колебаний заряженных частиц в быстроосциллирующих полях с медленно изменяющимися параметрами.

## ФИНАНСИРОВАНИЕ РАБОТЫ

Работа выполнена при финансовой поддержке Российского фонда фундаментальных исследований (проект № 18-07-00429) и Министерства образования и науки Российской Федерации (тема 8.8760.2017/8.9).

## СПИСОК ЛИТЕРАТУРЫ

1. Ландау Л.Д., Лифшиц Е.М. Механика. М.: Физматлит, 2001. С. 124.
2. Миллер М.А. // Изв. вузов. Радиофизика. 1958. Т. 1. С. 110.
3. Dawson P.H. Quadrupole Mass Spectrometry and its Applications. N.Y.: Amer. Inst. Phys., 1995.
4. Мак-Лахлан Н.В. Теория и приложения функций Матъе. М.: Изд-во иностр. лит., 1958.
5. Зельдович Я.Б., Мышкис А.Д. Элементы прикладной математики. М.: Наука, 1967. С. 255.
6. Митропольский Ю.А. Нестационарные процессы в нелинейных колебательных системах. Киев: Изд-во АН УССР, 1955.
7. Справочник по специальным функциям / Под ред. Абрамовица М., И. Стиган. М.: Наука, 1979. С. 494.
8. Баскаков С.И. Радиотехнические цепи и сигналы. М.: Высшая школа, 2000.
9. Xu W., Chappell W.J., Ouyang Z. // Int. J. Mass Spectrometry. 2011. V. 308. № 1. P. 49.
10. Douglas D.J., Konenkov N.V. // Rapid Commun. Mass Spectrometry. 2014. V. 28. P. 430.
11. Мэтьюз Дж., Уокер Р. Математические методы физики. М.: Атомиздат, 1972.